

УДК.624.073.02 (575.2) (04)

РЕЗУЛЬТАТЫ ЧИСЛЕННОГО МОДЕЛИРОВАНИЯ ИЗГИБА ПОЛУБЕСКОНЕЧНОЙ ПЛИТЫ НА УПРУГОМ ОСНОВАНИИ С УЧЕТОМ НЕПОЛНОГО КОНТАКТА С ОСНОВАНИЕМ

А.Т. Маруфий – канд. техн. наук, проф.

The numerical realization of a problem of semi-extreme bend on an elastic foundation with allowance for incomplete contact with the foundation, is shown

В работе [1, 2] рассмотрена задача изгиба полубесконечной плиты на упругом основании с учетом неполного контакта с основанием (рис. 1), где получено точное аналитическое решение задачи методом обобщенных решений и интегральных преобразований Фурье [3].

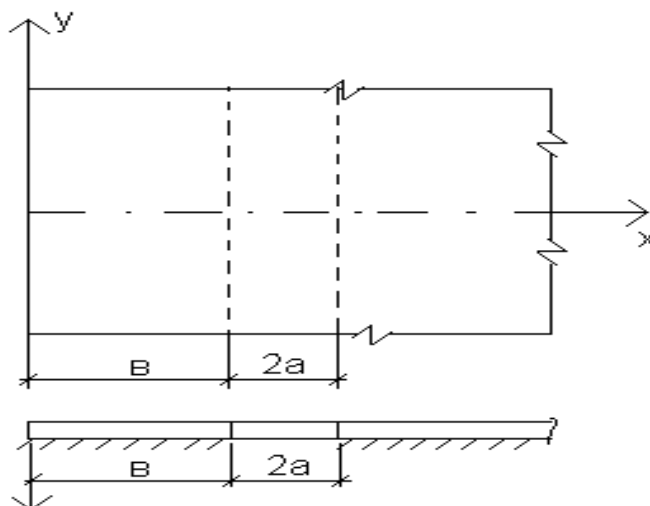


Рис. 1.

Дифференциальное уравнение изгиба в безразмерных координатах и функциях имеет вид:

$$\nabla\nabla W(x, y) + [\theta(x - b - 2a) + \theta(b - x)]W(x, y) = q_0(x, y). \quad (1)$$

Здесь $q(x, y) = \sum_{i=0}^1 q_i(x, y)$, q_0 – функция приложенной к плите внешней нагрузки; $\theta(z)$ – функция Хевисайда;

$q_1 = L[A(y) \cdot \delta(x)]$, где L – оператор граничных условий при свободном опирании плиты

$$L(x, y) = -\left(\frac{\partial^2}{\partial y^2} + \nu \frac{\partial^2}{\partial x^2}\right).$$

Введение функции $q_1(x, y)$ в правую часть уравнения (1), учитывающей разрывы функции $W(x, y)$ и её производных, позволяет применить для решения этого уравнения двумерное преобразование Фурье и получить в результате интегральное уравнение относительно функции $W(x, y)$

$$W(x, y) - \frac{2}{\pi} \int_0^{b-x} W(t, \eta) \int_0^\infty K(x, \eta, t) \cos \eta y d\eta dt + \frac{1}{\pi^2} \int_0^\infty A_1(\eta) \alpha_0(\eta, x) \cos \eta y d\eta = W_\infty(x, y) \quad (2)$$

Ядро этого уравнения

$$K(x, \eta, t) = \begin{cases} \frac{1}{\sqrt{\eta^4 + 1}} [\varphi_1(\eta, x) \psi_1(\eta, t) + \varphi_2(\eta, x) \psi_2(\eta, t)] & x \geq t \\ \frac{1}{\sqrt{\eta^4 + 1}} [\varphi_1(\eta, t) \psi_1(\eta, x) + \varphi_2(\eta, t) \psi_2(\eta, x)] & x \leq t, \end{cases} \quad (3)$$

где

$$\begin{aligned} \varphi_1(\eta, x) &= e^{-Ax} (B \cos Bx + A \sin Bx), \quad \psi_1(\eta, t) = chAt \cdot \cos Bt \\ \varphi_2(\eta, x) &= e^{-Ax} (B \sin Bx - A \cos Bx), \quad \psi_2(\eta, t) = shAt \cdot \sin Bt \end{aligned} \quad (4)$$

$$AB = \sqrt{\frac{\sqrt{\eta^4 + 1} \pm \eta^2}{2}}.$$

Правой частью уравнения (2) является функция прогиба $W_\infty(x, y)$ бесконечной плиты, лежащей на сплошном основании без отверстия при действии на плиту приложенной к ней нагрузки.

Применив к уравнению (2) преобразование Фурье по координате Y , в результате получим интегральное уравнение Фредгольма второго рода относительно функции $W(x, \eta)$, трансформанты Фурье функции прогиба плиты.

$$W(x, \eta) - \int_0^{b-x} W(t, \eta) K(x, \eta, t) dt = W_\infty(x, \eta) + \frac{1}{2\pi} A_1(\eta) \alpha_0(\eta, x), \quad (5)$$

где $\alpha_0(\eta, x) = M_2(\eta, x) + \nu \eta^2 M_0(\eta, x)$

$$\begin{aligned} M_0(\eta, x) &= \frac{2}{\pi} \frac{e^{-Ax}}{\sqrt{\eta^4 + 1}} (B \cos Bx + A \sin Bx); \\ M_2(\eta, x) &= \frac{2}{\pi} e^{-Ax} (B \cos Bx - \sin Bx); \end{aligned} \quad (6)$$

$W_\infty(x, \eta)$ – трансформанта Фурье функции $W_\infty(x, y)$.

В уравнение (4) входит ещё одна неизвестная функция $A_1(\eta)$, которая может быть определена из граничных условий на краю плиты ($x = 0$). Поэтому, используя выражение (3), запишем уравнение (5) при $x \leq b$.

$$W(x, \eta) = W_{\infty}(x, \eta) + C_1(\eta, b, a)\psi_1(\eta, x) + C_2(\eta, b, a)\psi_2(\eta, x) + \frac{1}{2\pi}A_1(\eta)\alpha_0(\eta, x) \quad (7)$$

Здесь обозначено

$$C_i(\eta, b, a) = \frac{1}{\sqrt{\eta^4 + 1}} \int_b^{b+2a} W(t, \eta)\varphi_i(\eta, t)dt \quad (8)$$

Предположим, что плита лежит свободно на упругом основании, тогда на краю плиты $x=0$ следует удовлетворить условиям

$$M_x(0, x) = 0; \quad N_x(0, y) = 0.$$

Второе условие удовлетворяется автоматически, а первое условие запишем в преобразованном виде:

$$\left[W''_{xx}(x, \eta) - v\eta^2 W(x, \eta) \right]_{x=0} = 0 \quad (9)$$

Подставив (7) в (9) и произведя необходимые операции, определим функцию $A_1(h)$

$$A_1(\eta) = -2\pi \left[M_{x\infty}(0, \eta) + (1-v)\eta^2 C_1(\eta, b, a) + C_2(\eta, b, a) \right] \mathcal{E}^{-1}(\eta) \quad (10)$$

$$\mathcal{E}(\eta) = \frac{\pi}{2} B \left[2(1-v\eta^2) + \frac{1+(1-v)\eta^4}{\sqrt{\eta^4 + 1}} \right] \quad (11)$$

Подставив (11) в (7), получим

$$W(x, \eta) = f_1(x, \eta) + C_1(\eta, b, a)\beta_1(\eta, x) + C_2(\eta, b, a)\beta_2(\eta, x) \quad (12)$$

Здесь

$$\begin{aligned} f_1(x, \eta) &= W_{\infty}(x, \eta) - \mathcal{E}^{-1}(\eta) \cdot M_{x\infty}(0, \eta), \\ \beta_1(x, \eta) &= \psi_1(\eta, x) - (1-v)\mathcal{E}^{-1}(\eta) \cdot \alpha_0(\eta, x), \\ \beta_2(x, \eta) &= \psi_2(\eta, x) - \mathcal{E}^{-1}(\eta) \cdot \alpha_0(\eta, x). \end{aligned} \quad (13)$$

Значение функции $M_{x\infty}(0, \eta)$ зависит от приложенной к плите нагрузки. Если в центре плиты сосредоточенная сила P , то

$$M_{x\infty}(0, \eta) = \frac{PB}{4} \frac{(\sqrt{\eta^4 + 1} + v\eta^2)}{\sqrt{\eta^4 + 1}}. \quad (14)$$

Если в центре плиты на площадке $2c \times 2d$ приложена равномерная нагрузка q , то

$$M_{x\infty}(0, \eta) = \left\{ e^{-Ac} \sin BC + \frac{v\eta^2}{(\eta^4 + 1)} [1 - e^{-Ac} (\eta^2 \sin BC + \cos BC)] \right\} \frac{\sin \eta d}{\eta}. \quad (15)$$

Для определения функции $C_i(\eta, b, a)$ используем известную процедуру решения интегральных уравнений с вырожденным ядром. Умножим обе части (12) последовательно на $\varphi_i(\eta, x)$ ($i = 1, 2$), проинтегрируем от b до $(b+2a)$, найдём, что

$$\begin{aligned} C_1(\eta, b, a) &= \lambda_1 \lambda^{-1}, \quad C_2(\eta, b, a) = \lambda_2 \lambda^{-1}, \\ \lambda &= [1 - \Phi_{11}(\eta, b, a)][1 - \Phi_{22}(\eta, b, a)] + \Phi_{12}(\eta, b, a)\Phi_{21}(\eta, b, a), \\ \lambda_1 &= \Phi_1(\eta, b, a)[1 - \Phi_{22}(\eta, b, a)] + \Phi_{21}(\eta, b, a)\Phi_2(\eta, b, a), \\ \lambda_{12} &= \Phi_2(\eta, b, a)[1 - \Phi_{11}(\eta, b, a)] + \Phi_{12}(\eta, b, a)\Phi_1(\eta, b, a). \end{aligned} \quad (16)$$

Здесь обозначено

$$\begin{aligned} \Phi_i(\eta, b, a) &= \frac{1}{\sqrt{\eta^4 + 1}} \int_b^{b+2a} W_\infty(t, \eta) \varphi_i(t, \eta) dt, \\ \Phi_{ik}(\eta, b, a) &= \frac{1}{\sqrt{\eta^4 + 1}} \int_b^{b+2a} \psi_i(t, \eta) \varphi_k(t, \eta) dt, \quad (i = 1, 2, k = 1, 2). \end{aligned} \quad (17)$$

Теперь рассмотрим решение уравнения (5), если точка x находится над отверстием в грунте, т.е. $x \leq b \leq (b+2a)$

В этом случае

$$\begin{aligned} W(x, \eta) &= W_\infty(x, \eta) + \frac{\varphi_1(\eta, x) x}{\sqrt{\eta^4 + 1} b} \int W(t, \eta) \psi_1(\eta, t) dt + \frac{\varphi_2(\eta, x) x}{\sqrt{\eta^4 + 1} b} \int W(t, \eta) \psi_2(\eta, t) dt + \\ &+ \frac{\psi_1(\eta, x) b + 2a}{\sqrt{\eta^4 + 1} x} \int W(t, \eta) \varphi_1(\eta, t) dt + \frac{\psi_2(\eta, x) b + 2a}{\sqrt{\eta^4 + 1} x} \int W(t, \eta) \varphi_2(\eta, t) dt - \frac{1}{2\pi} A_1(\eta) \alpha_0(\eta, x). \end{aligned} \quad (18)$$

Функция $A_1(\eta)$ уже определена в (10). Значения $W(x, \eta)$ могут быть определены в ряде точек x численным способом, решая систему алгебраических уравнений, к которой сводится уравнение (18).

И, наконец, если точка x находится за отверстием, то уравнение (5) опять становится уравнением с вырожденным ядром и его решение имеет следующий вид:

$$W(x, \eta) = W_\infty(x, \eta) + \sum_{i=1}^2 C_i(\eta, b, a) \varphi_i(\eta, x), \quad (19)$$

здесь

$$C_i(\eta, b, a) = \frac{1}{\sqrt{\eta^4 + 1}} \int_b^{b+2a} W(t, \eta) \psi_i(\eta, t) dt \quad (i = 1, 2) \quad (20)$$

Значения коэффициента $C_i(\eta, b, a)$ могут быть также определены из соотношений типа (16), однако при этом

$$\Phi_i(\eta, b, a) = \frac{1}{\sqrt{\eta^4 + 1}} \int_b^{b+2a} W_\infty(t, \eta) \psi_i(\eta, t) dt. \quad (21)$$

После определения трансформанты Фурье $W(x, \eta)$ по формулам (12), (18) и (19) можно определить функцию прогибов $W(x, y)$ для различных положений координаты x по отношению к отверстию, произведя обратное преобразование

$$W(x, y) = \int_0^\infty W(x, \eta) \cos \eta y d\eta \quad (22)$$

или

$$\begin{aligned} W(x, y) &= \frac{2}{\pi} \int_0^\infty \int_0^\infty E \cos \xi x \cos \eta y \sqrt{\frac{2}{\pi}} \int_b^{b+2a} W(t, \eta) \cos \xi t dt d\xi d\eta + W_\infty(x, y) - \\ &- \frac{2}{\pi} \int_0^\infty \int_0^\infty E A_1(\eta) (\xi^2 + \nu \eta^2) \cos \xi x \cos \eta y d\xi d\eta \end{aligned} \quad (23)$$

Дифференцируя это выражение, можно определить изгибающие моменты и поперечные силы в плите.

$$M_x(x, y) = - \left(\frac{2}{\pi} \int_0^\infty \int_0^\infty E(\xi^2 + v\eta^2) \cos \xi x \cos \eta y \sqrt{\frac{2}{\pi}} \int_b^{b+2a} W(t, \eta) \cos \xi x t d t \xi d \eta + \right. \\ \left. + M_{\infty x}(x, y) - \frac{2}{\pi} \int_0^\infty \int_0^\infty EA_1(\eta) (\xi^2 + v\eta^2)^2 \cos \xi x \cos \eta y d \xi d \eta, \right. \quad (24)$$

$$M_x(x, y) = - \left(\frac{2}{\pi} \int_0^\infty \int_0^\infty E(v\xi^2 + \eta^2) \cos \xi x \cos \eta y \sqrt{\frac{2}{\pi}} \int_b^{b+2a} W(t, \eta) \cos \xi t d t \xi d \eta + \right. \\ \left. + M_{\infty x}(x, y) - \frac{2}{\pi} \int_0^\infty \int_0^\infty EA_1(\eta) (\xi^2 + v\eta^2)^2 \cos \xi x \cos \eta y d \xi d \eta, \right. \quad (25)$$

$$Q_x(x, y) = - \left(\frac{2}{\pi} \int_0^\infty \int_0^\infty E[\xi^2 + (\lambda - v)\xi\eta^2] \cos \xi x \cos \eta y \sqrt{\frac{2}{\pi}} \int_b^{b+2a} W(t, \eta) \cos \xi t d t \xi d \eta + \right. \\ \left. + Q_{\infty x}(x, y) - \frac{2}{\pi} \int_0^\infty \int_0^\infty EA_1(\eta) (\xi^2 + v\eta^2) [\xi^2 + (2 - v)\xi\eta^2] \cos \xi x \cos \eta y d \xi d \eta, \right. \quad (26)$$

$$Q_y(x, y) = - \left(\frac{2}{\pi} \int_0^\infty \int_0^\infty E[\xi^3 + (2 - v)\eta\xi^2] \cos \xi x \cos \eta y \sqrt{\frac{2}{\pi}} \int_b^{b+2a} W(t, \eta) \cos \xi t d t \xi d \eta + \right. \\ \left. + Q_{\infty y}(x, y) - \frac{2}{\pi} \int_0^\infty \int_0^\infty EA_1(\eta) (\xi^2 + v\eta^2) [\xi^3 + (2 - v)\eta\xi^2] \cos \xi x \cos \eta y d \xi d \eta. \right. \quad (27)$$

Результаты численной реализации приведены на рис. 2–4.

На рис. 2 приведено значение максимальных прогибов в полубесконечной плите, нагруженной сосредоточенной единичной силой в точке $x = 0, y = 0$. Из него видно, что с увеличением ширины

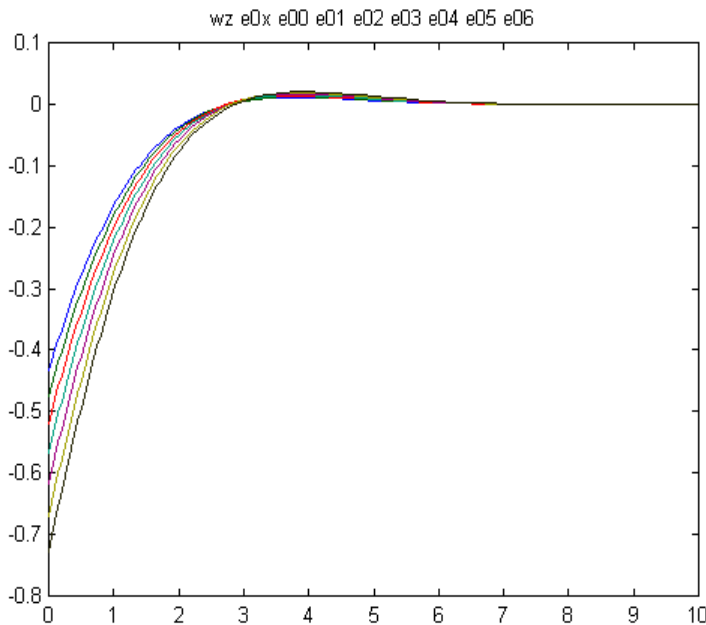


Рис. 2.

траншеи прогибы увеличиваются, а при ширине 0,6 прогиб достигает величины 0.7293, что в 1.68 раза превышает прогиб в этой же точке полубесконечной плиты, полностью опирающейся на основание.

На рис. 3 и 4 приведены значения изгибающих моментов $M_x(x, y)$ и $M_y(x, y)$ для тех же случаев расположения траншей. Характер эпюр $M_x(x, y)$ примерно одинаков для плит с полным опиранием и для плит с траншеей различной ширины, но все же значения моментов увеличиваются с увеличением ширины траншеи (рис. 3). Наибольший изгибающий момент $M_x(x, y)$ увеличился в 1,46 раза при абсциссе $x = 1$. Наибольший изгибающий момент $M_y(x, y)$ (рис. 4) увеличивается незначительно – в 1,08 раза.

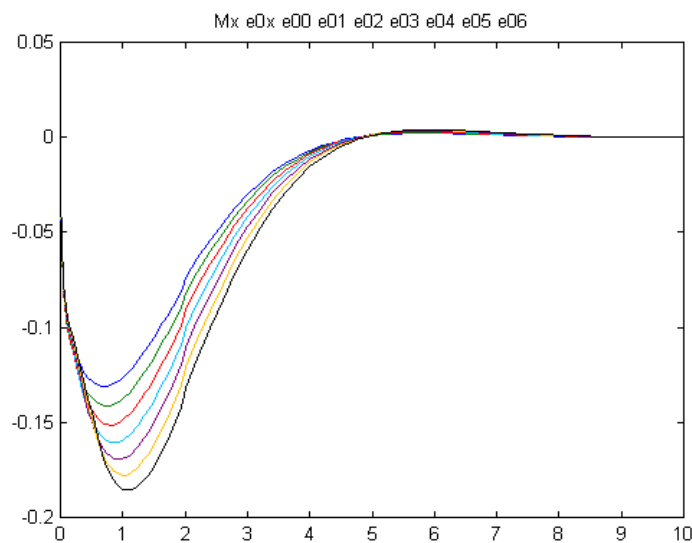


Рис. 3.

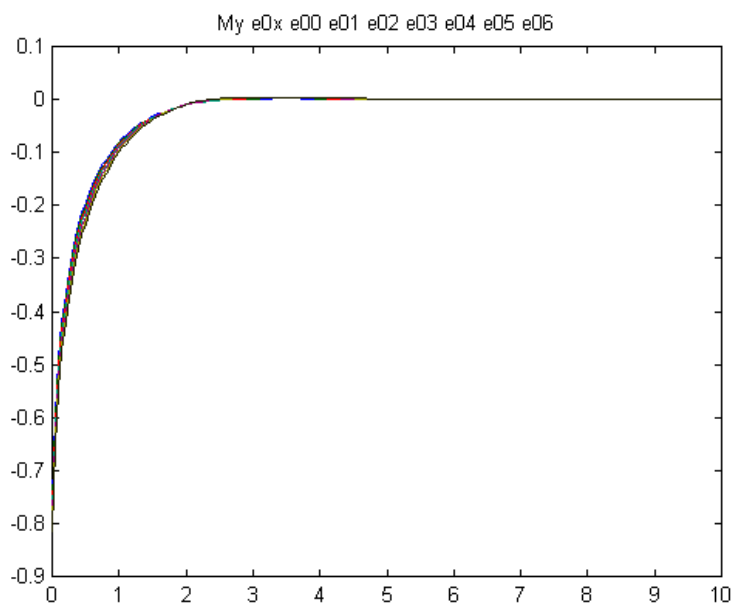


Рис. 4.

Литература

1. Маруфий А.Т. Расчет краевых участков плит, лежащих на упругом основании при отсутствии основания на части плиты // Научн. вестн. ФерГУ. – 1996. – № 1. – С. 65–69.
2. Маруфий А.Т. Расчет плит на упругом основании при отсутствии основания под частью плиты // Основания, фундаменты и механика грунтов. – 1999. – № 4. – С. 27–31.
3. Травуш В.И. Метод обобщенных решений в задачах изгиба плит на линейно-деформируемом основании // Строительная механика и расчет сооружений. – 1982. – №1.